14^A FERIA DE BIOTECNOLOGIA

Producción de celulasas por fermentación sumergida con Streptomyces sp. nativa empleando cáscaras de arveja y bagazo de caña como sustrato.

Andrés Rodríguez^{1,3}, Danna Arcila², Estiven Holguín², Juan Camilo García⁴, Juan Esteban Noreña^{3,4}, Julián Ballares^{2,4}, Marcos Nieves¹, María Isabel Rúa⁴, María Camila Zapata², Mariana Zea³, Salome Morales¹, Sara Pena², Schnaider Alba³, Sebastián Cano^{2,4}, Sharol Ramírez^{1,3}, Simón Cardona^{1,2,3}, Steven Restrepo^{1,3,4}, José Gregorio Martínez⁵, Jesús López⁵,

Mateo Orozco⁵, Susana Ochoa⁵, Víctor Osorio⁵.

Estudiantes de Biotecnología: 1. Curso Microbiología II. 2. Curso Ingeniería de bioprocesos. 3. Curso Diseño experimental. 4. Curso Biotecnología enzimática. 5. Docente Facultad de Ciencias de la Salud. I.U. Colegio Mayor de Antioquia.

INTRODUCCIÓN

Las enzimas celulolíticas degradan la celulosa y participan en procesos como la producción de bioetanol [1]. Streptomyces destaca por ser una bacteria que produce celulasas aprovechando diferentes sustratos residuos agroindustriales, reduciendo costos y favoreciendo la sostenibilidad [2]. Εl de USO sustratos ricos en celulosa y fuentes de nitrógeno económicas como la harina de soya o nitratos mejora la síntesis de celulasas [3].

Objetivo general

Evaluar la producción de enzimas celulolíticas con un aislado nativo sumergidas fermentaciones empleando residuos agroindustriales como fuentes de carbono y fuentes alternativas de nitrógeno.

Objetivos específicos

- Comparar el efecto de la fuente de carbono sobre la producción de celulasas y biomasa por un aislado nativo en fermentación sumergida.
- Determinar el efecto de la fuente de nitrógeno sobre la producción de enzimas celulolíticas y el celular crecimiento por aislado nativo en fermentación sumergida.

CONCLUSIONES

Las fuentes de carbono y nitrógeno analizadas no presentaron un efecto significativo sobre la actividad de los extractos enzimáticos obtenidos. La combinación CMC-Nitrato fue la única que permitió verificar incremento en la biomasa del S7H. mayor actividad del extracto obtenido con bagazo de caña y harina de soya se alcanzó a 45°C, con CMC o papel filtro como sustrato.

Bibliografía

[1] Osorio VM, Mora M, Obando J, Castrillón EX. Producción de celulasas con cultivos puros y mixtos de Trichoderma reesei y Aspergillus fumigatus usando cascarilla de arroz como sustrato. Revista EIA. 2023; 19;20(40). doi:10.24050/reia.v20i40.1671 [2] Celaya-Herrera S, Casados-Vázquez LE, Valdez-Vázquez I, et al. A cellulolytic Streptomyces sp. isolated from a highly oligotrophic niche shows potential for hydrolyzing agricultural wastes. Bioenerg Res. 2021;14:333-43. doi:10.1007/s12155-020-

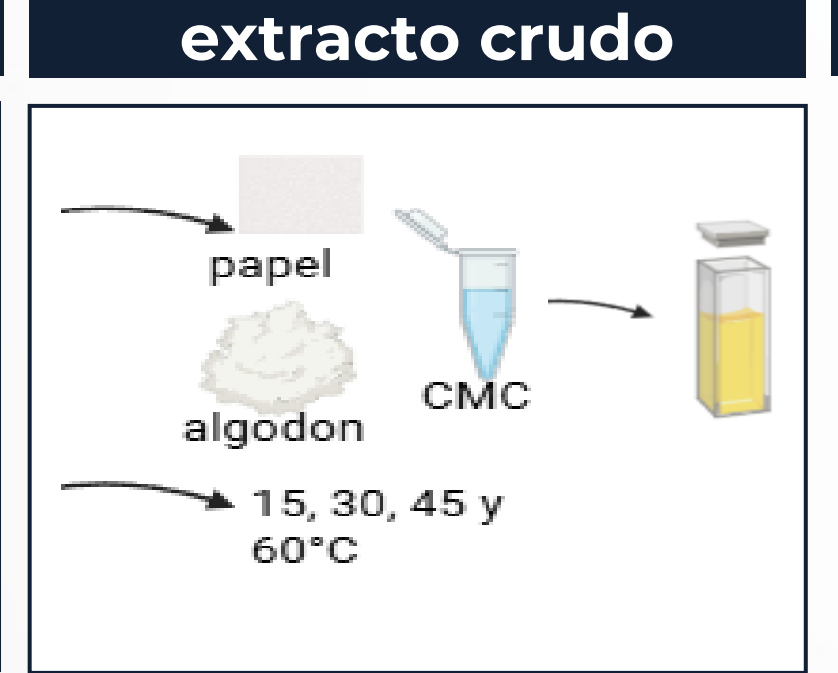
10174-z. [3] Gautam SP, Bundela PS, Pandey AK, Khan J, Awasthi MK, Sarsaiya S. Optimization for the production of cellulase enzyme from municipal solid waste residue by two novel cellulolytic fungi. Biotechnol. Res. Int.. 2011;2011:1-8. doi:10.4061/2011/810425



Actividad enzimática Azúcares reductores liberados

Producción de biomasa 100 µL 100 µL 100 µL 100 µL 100 µL UFC Peso seco





Actividad del

Análisis estadísticos Análisis de supuestos Anova

Pruebas no paramétricas Kruskal-Wallis, p<0,05

RESULTADOS

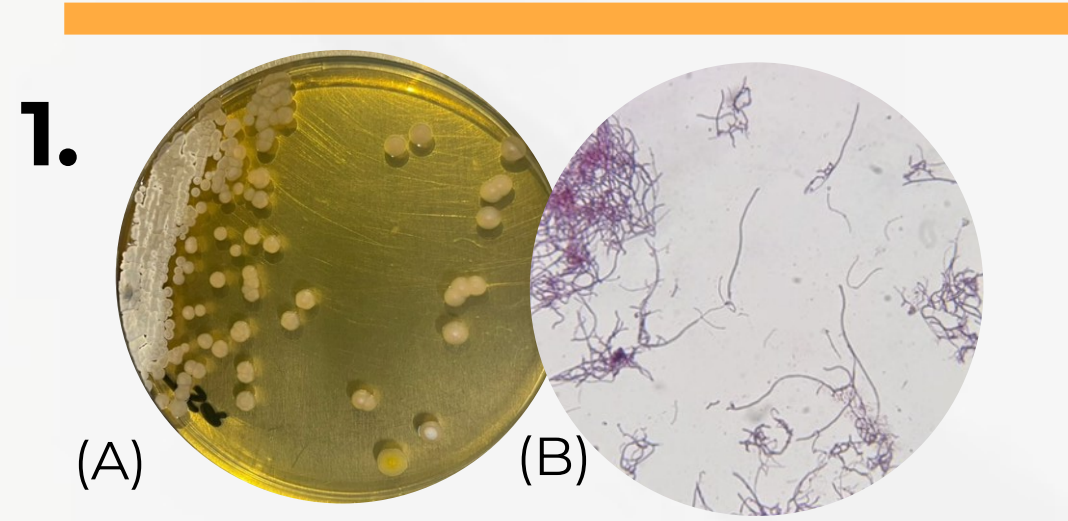
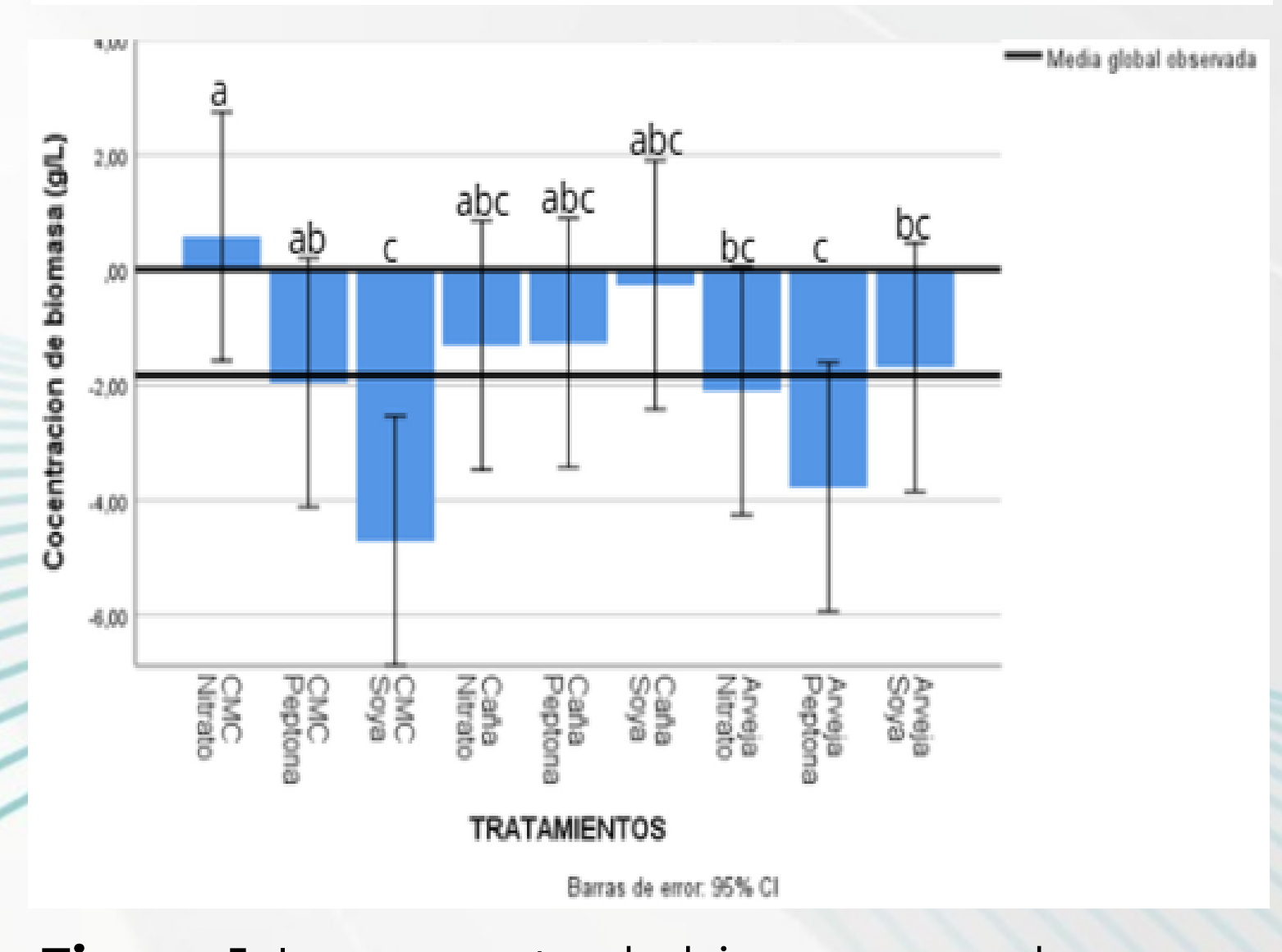


Figura 1. Descripción del aislado S7H consistente con Streptomyces sp. (A) Características macroscópicas de la colonia, (B) Características microscópicas

- A. Morfología macroscópica. En el medio TSA (Tryptic Soy Agar), colonias pulverulentas, con márgenes irregulares y pigmentación amarilla a crema, redondas u ovaladas, de tamaño mediano a grande en las áreas aisladas y elevación convexa.
- B. Morfología microscópica. Bacterias filamentosas delgadas, Gram positivas, ramificadas y entrelazadas, que originan cadenas de esporas (esporóforos). Dichas estructuras son representativas del modo de crecimiento filamentoso típico de Streptomyces sp. que refleja su compleja organización micelial y su capacidad para diferenciarse morfológicamente durante la fase de esporulación [5].
- 2. Tabla 1. ANOVA de dos vías para la actividad enzimática según los azúcares liberados por el extracto enzimático

	Pruebas de	efectos	inter-sujetos		
Variable dependient	te: CONCENTRA	CIÓN_AZÚC	CARES_LIBERAD	OS_REALES	1
Origen	Tipo III de suma de cuadrados	gl	Media cuadrática	F	Sig.
Modelo corregido	,066ª	8	,008	1,203	,351
Intersección	,052	1	,052	7,629	,013
Sustrato	,021	2	,010	1,513	,247
Nitro	,012	2	,006	,850	,444
Sustrato * Nitro	,034	4	,008	1,224	,336
Error	,123	18	,007		
Total	,242	27			
Total corregido	,189	26			

Figura 1. Incremento de biomasa con base en la biomasa obtenida en los controles



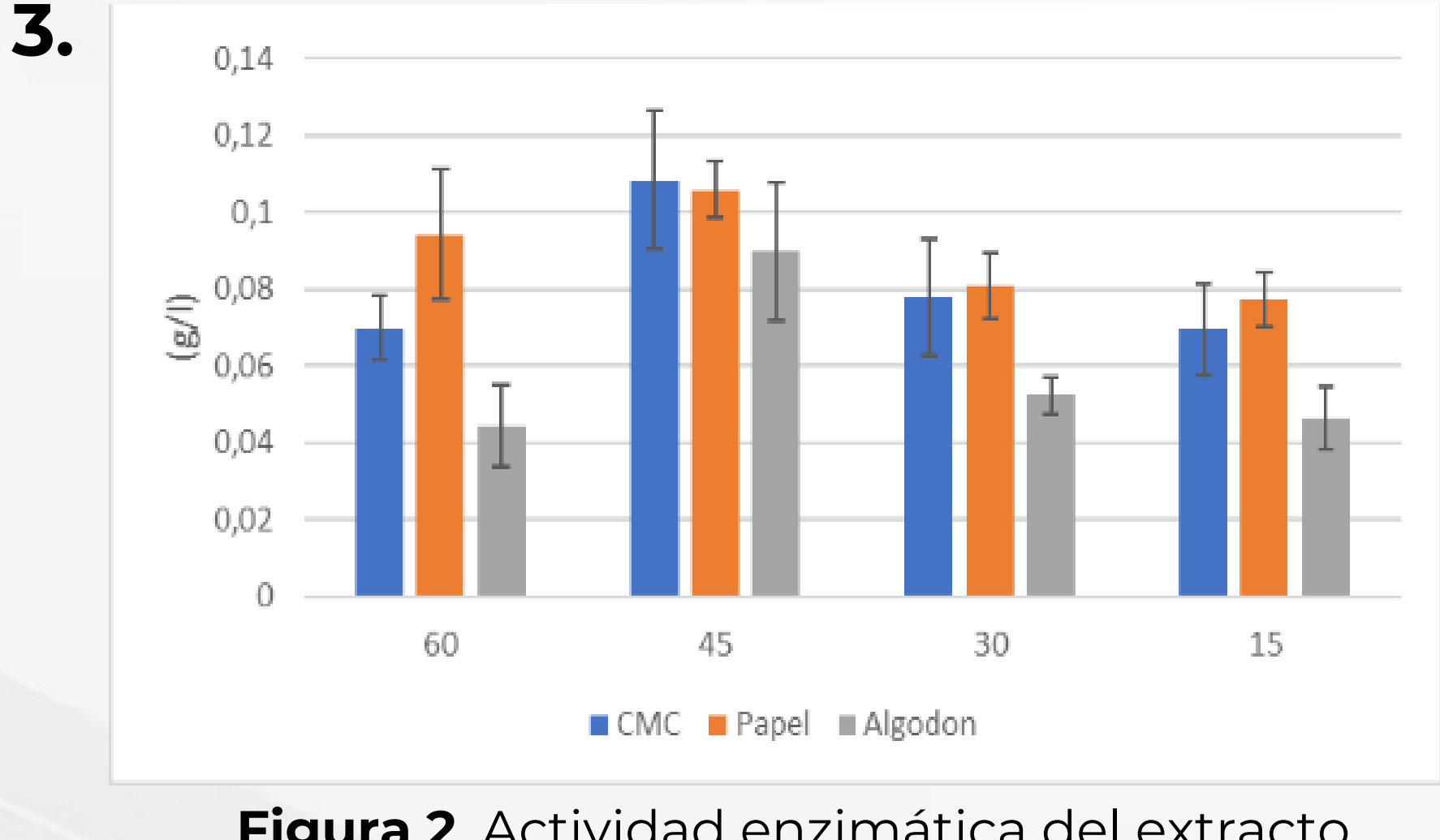


Figura 2. Actividad enzimática del extracto obtenido con bagazo de caña y harina de soya. El eje Y mide la concentración de azúcares liberados, en el eje X se encuentran las temperaturas en °C.

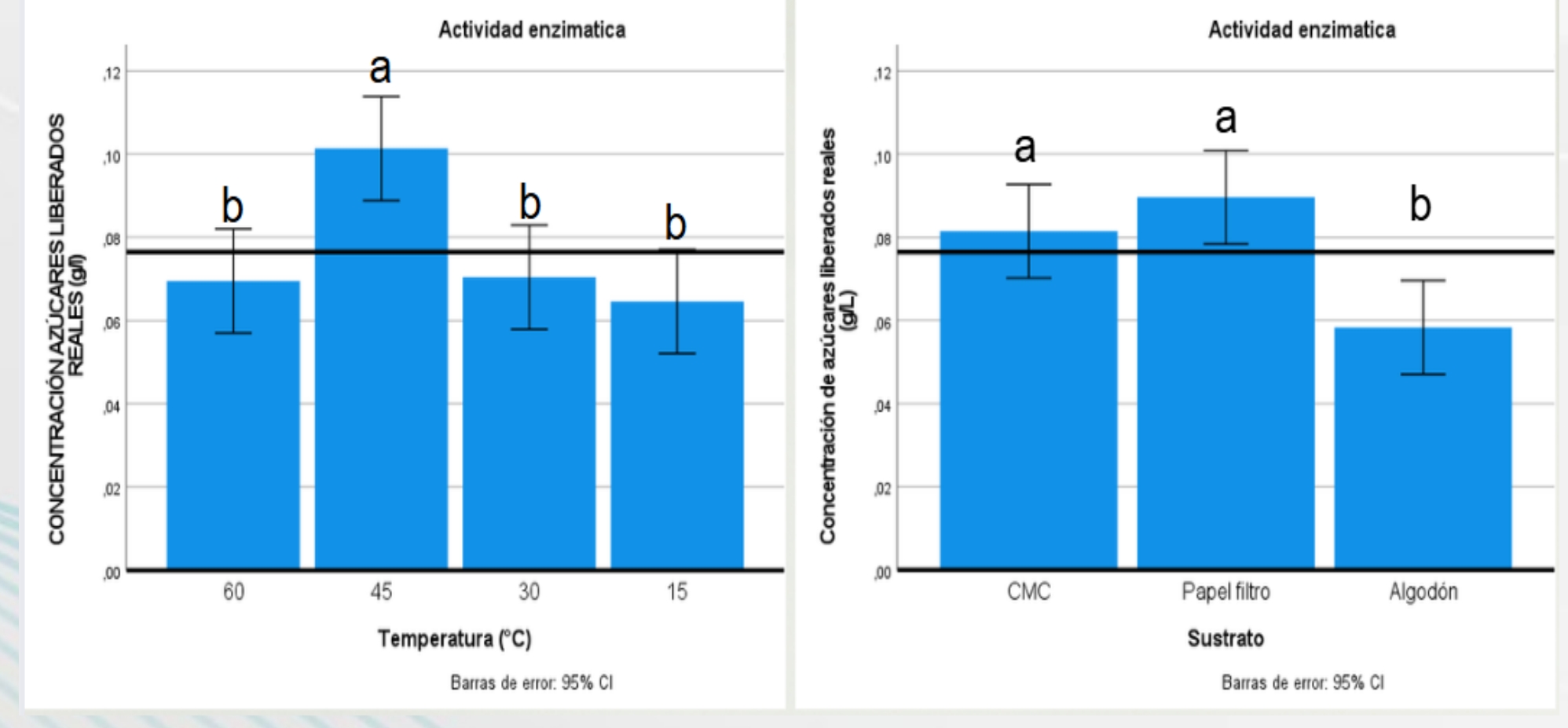


Figura 3. Gráfico de barras de Tukey. El eje Y mide la concentración de azúcares liberados, el eje X muestra A) Temperaturas, B) Sustrato. Las letras indican diferencias significativas con p<0,05

